

佐賀大学 理工学部 正員 ○鬼塚克忠  
 ウ ウ ウ 原 裕

1. まえがき 本研究の目的は大別すると次の2点である。1) 締固め土の引張強さに代わる圧裂強度と締固め含水比、一軸圧縮強度との関係を明らかにする。2) 締固め土の力学的挙動のメカニズムならびに土構造との関係を解明する一手段として、炉乾燥供試体についてすばりに一軸および圧裂強度を求める。

2. 試料と供試体 試料は表-1に示す4種類である。空気乾燥した2mm以下の試料とそれぞれ5つの所定の含水比により調整し、24時間放置した。これと一軸圧縮試験用供試体として $\phi 35 \times 8.75$  cm、圧裂試験用として $\phi 5.0 \times 5.0$  cmになるようにモールド内で静的に締固めて作成した。供試体の締固め乾燥密度は、マサ土の場合、ハーバード突固め試験(15kg, 3層25回)

で得られた最大乾燥強度の95% ( $\gamma_d = 1.525 \text{ g/cm}^3$ ,  $e = 0.729$ )、赤土の場合は同じく95% ( $\gamma_d = 1.309 \text{ g/cm}^3$ ,  $e = 1.085$ )、有明粘土は98% ( $\gamma_d = 1.014 \text{ g/cm}^3$ ,  $e = 1.574$ )である。またベントナイトは突固め試験(13kg, 3層25回)の最大乾燥強度の95% ( $\gamma_d = 1.192 \text{ g/cm}^3$ ,  $e = 1.307$ )である。

3. 試験方法 締固めた湿潤土および炉乾燥土について一軸圧縮試験と圧裂試験を行なった。湿潤土の両試験は供試体作成後直ちに実施した。また炉乾燥土については、110°Cの乾燥炉内に24時間放置したものと同様に使用した。なお載荷速度は1%/min.を基準とした。

#### 4. 試験結果と考察 4-1. 圧縮強度

図-1に一軸圧縮強度と締固め初期含水比の関係を示してある。図中の文字W, Dはそれぞれ湿潤供試体と炉乾燥供試体の意味である。図面は省略したが、変形係数と初期含水比の関係も図-1とほとんど同様である。湿潤土では最適含水比の乾燥側でこれらはピークを示すが、乾燥土では膨潤性のベントナイトを除くと初期含水比の高いものほど大きくなる。一般に乾燥させると初期含水比の高いものは収縮量は大きくなるが、含水比の違いによる乾燥密度の差はそれほど大きくない。そのため、初期含水比が高いほど強度が大きくなる現象は、乾燥過程で生じる粒子間圧縮力すなわち先行荷重と同様な効果が初期含水比が高いものは大きいことに起因するものと考えられる。ベン

表-1. 試料の性質

Sample	Gs	W <sub>I</sub>	W <sub>P</sub>	W <sub>opt</sub> (kN/mm <sup>2</sup> )	W <sub>D</sub> (kg/cm <sup>3</sup> )	Gra. Vel.	Distribution (%)	Classification		
	(%)	(%)	(%)	(%)	(%)	Sand	Silt	Clay		
Masa soil	2.65	N.P.	N.P.	12.7	1.605	128	73.9	12.4	0.9	SM
Aka tsuchi	2.73	56	33	28.7	1.378	3.0	26.0	32.0	39.0	MH
Ariake clay	2.66	99	41	44	1.035	—	12	54.5	33.5	CH
Bentonite	2.75	400	33	31.0	1.255	—	—	29.0	71.0	CH

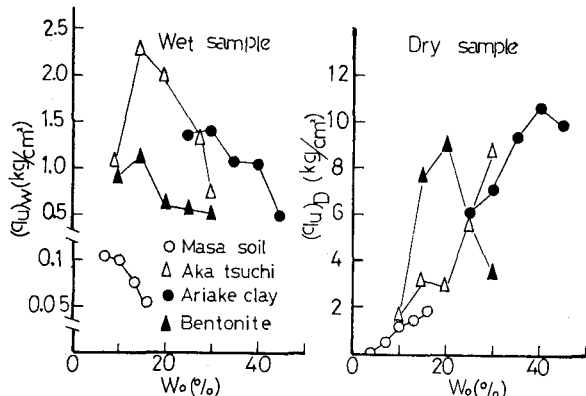


図-1. 一軸圧縮強度と初期含水比

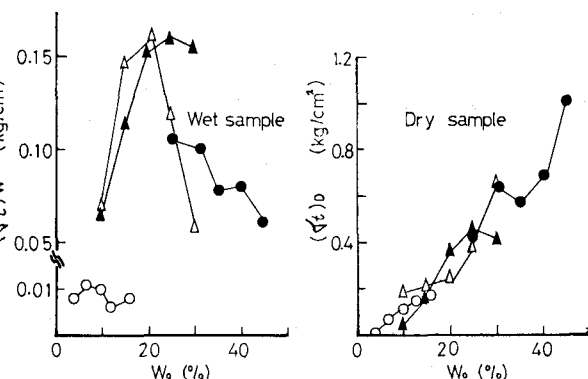


図-2. 圧裂強度と初期含水比

トナイトのみは高含水比で乾燥強度が低下するが、これは粒子の团粒化による空隙率寸法のバラツキによる強度低下なのかな。  
あるいは土構造の違いによる強度低下なのかも明らかでない。

4-2. 圧裂強度 図-3の圧裂試験より、図-2の圧裂強度、 $\sigma_t = 2P/\pi DL$  を求めた。ただしPは全荷重、D、Lはそれぞれ供試体の長さと直径である。湿润および乾燥供試体の圧裂強度と含水比の関係は、一軸圧縮強度、変形係数と初期含水比との関係とほとんど同様である。湿润供試体では一軸圧縮強度がピークを示す含水比の前後(5~10%の差)で圧裂強度は最大となる。乾燥供試体では全試料とも初期含水比が高いほど大きくなっている。図面は省略したが、圧裂強度-変位(ただし載荷方向)曲線から変形係数に相当する傾きを求めて含水比に対してプロットすると、変形係数と含水比の関係はほとんど同じ傾向が得られる。

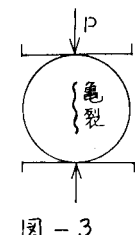


図-3

#### 4-3. 圧裂強度と一軸圧縮強度比

図-4に圧裂強度と一軸圧縮強度の関係を示した。図面の大きさの関係により、湿润供試体の強度は同図の座標の( )なしの目盛に対して、乾燥供試体は( )の中の目盛に対してプロットしてある。試料の種類、初期含水比、湿润および乾燥状態によって圧裂強度、圧縮強度比  $\sigma_t/q_u$  の値はいくらか異なるがおおよそ  $\sigma_t/q_u = 0.08$  である。特別バラツキの大きいものと除くと、 $\sigma_t/q_u = 0.06 \sim 0.10$  の範囲内にあり、 $q_u/\sigma_t$  では 10~17 の値となる。一般に圧縮強度と引張強度の比でもって脆性度をあらわす。そのため

、いま引張強度の代りに圧裂強度を用いた上記の強度比  $q_u/\sigma_t$  は脆性度の目安となる。はじめ乾燥土の強度比が湿润土のものより大きくなると予想していたが、その違いはほとんど見られない。なお内田らは既述ない有明粘土と砂固め赤土について、両試料の強度比がほぼ  $q_u/\sigma_t = 7$ 、 $\sigma_t/q_u = 0.14$  であると報告している。また Ramanathan<sup>2)</sup> は 6 種類の粘性土を最適含水比の乾燥側に締固めて、 $\sigma_t = 0.48 (q_u - 0.25)$  の関係を得ている。

4-4. 乾燥強度と湿润強度の比 図-5は一軸圧縮強度と圧裂強度について、乾燥強度と湿润強度の比を含水比に対してプロットしてある。これらの強度比は一般に初期含水比が高いものほど大きいが、ベントナイトを除いた試料であれば一軸圧縮強度と圧裂強度についてほぼ同一の値を示していることは興味深い。

5. ますび 現在、韓国の土の干燥供試体について三軸圧縮試験を計画している。特にまえがきで述べた目的 2) の観察から研究を進めていき、終りに本研究に協力していただいた本学卒業生の梅崎健次郎君に深く感謝いたします。

#### 参考文献

- 1) Uchida, I. and Matsumoto, R: On the Test of the Modulus of Rupture of Soil Sample, Soils and Foundations, Vol.2, No.1, 1961.
- 2) Ramanathan, B. and Raman, V: Split Tensile Strength of Cohesive Soils, Soils and Foundations, Vol.14, No.1, 1974.

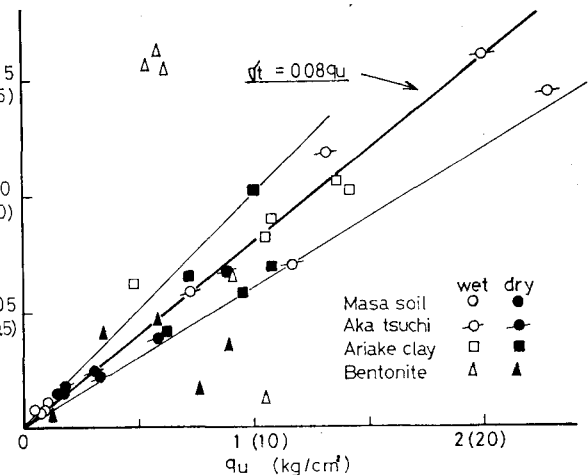


図-4. 圧裂強度と一軸圧縮強度

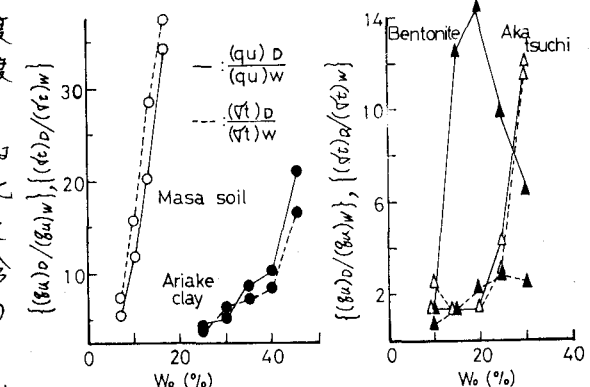


図-5. 乾燥強度と湿润強度比